

名古屋工業大学

正員 ○ 石田 昭

名古屋工業大学

学生員 金泰順

1. はじめに： 風波のようなくずれ波のスペクトルは、観測および解析が比較的容易である周波数スペクトル、あるいはSWOPの觀測例に代表されるような波数スペクトルによつて取扱かわれている。しかしながら、波数と周波数の間に一義的な関係が存在しないと考えられる自然現象においては、水のスペクトルは不完全な表示であり、周波数と波数によるスペクトル表示が必要となることはいうまでもない。現地波浪の波数・周波数スペクトルを得ることは非常に困難であるが、実験室内での風波ならば一方に向進行すると仮定できるので、比較的簡単である。本研究は実験水槽内で起した風波を写真観測することによって、その波数・周波数スペクトルを解析し、スペクトルをモデル化する基礎資料を得ようとするものである。

2. 実験方法および解析方法： 実験に使用した風洞水槽は有効フェット約20m、幅60cm、高さ120cmの両面ガラス張り水槽である。水深は沖側13mが28.7cm、岸側6mが8.7cmであり、水深が変化する部分に約1mの長さの斜面を設置した。また風下端に砕石を置いて消波させた。風速10m/secで発生する風波を水槽側面からカメラ（アサヒペンタックスSP、レンズ28mm F3.5、絞り開放、フィルムコダックTRI-X）およびストロボスコープ（閃光周波数400rpm、閃光時間 $\Delta t = 0.15\text{ sec}$ 、閃光時間22μsec）を使用してシリット撮影した。読み取りを行なうために、スライド用フィルムに反転し、プロジェクターで拡大して読み取った。写真-1は観測した写真の一部分であり、波の進行方向は右から左、時間経過は下から上である。縦線はガラス面上に引いた方向隔 $\Delta x = 5\text{ cm}$ の読み取り線であるが画面中央のガラス縫手の部分は隠れてしまうので、この間の2束だけは目視によって推定した。X方向のサンプリングは5cm間隔で57束（全長280cm）、Z方向のサンプリングは0.15sec間隔で59束（8.7sec）とした。波数・周波数スペクトル $E(f, k)$ は次式によつて求められる。

$$\rho(\tau_t, \tau_x) = \iint \eta(t, x) \cdot \eta(t + \tau_t, x + \tau_x) dt dx, -M_t \leq \tau_t \leq M_t, 0 \leq \tau_x \leq M_x \quad \text{①}$$

$$E(f, k) = \frac{1}{(2\pi)^2} \iint \rho(\tau_t, \tau_x) \exp[i(-k\tau_x + 2\pi f\tau_t)] d\tau_t d\tau_x, -\frac{1}{2\Delta t} \leq f \leq \frac{1}{2\Delta t}, 0 \leq k \leq \frac{2\pi}{2\Delta x} \quad \text{②}$$

ここで、 M_t, M_x は二次元 Correlation

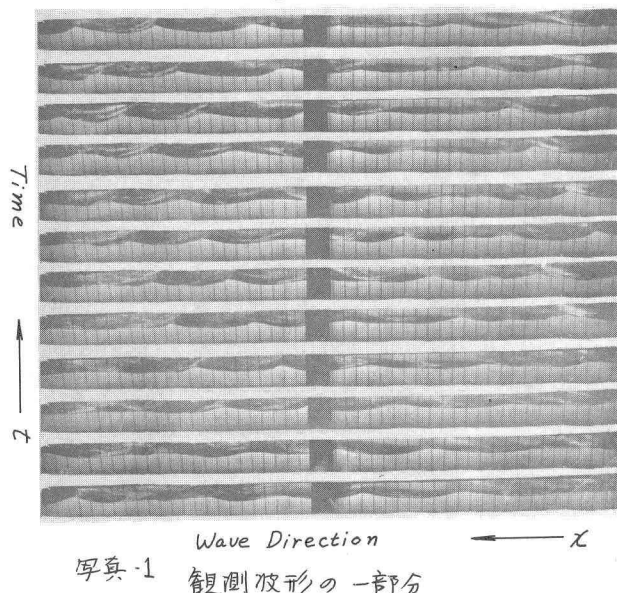
$\rho(\tau_t, \tau_x)$ の最大ラグの数で、それぞれ15, 20である。したがつて解析の自由度は次式

$$n = 1.58 \left[\frac{M_x}{M_t} - \frac{1}{2} \right] \left[\frac{N_t}{M_t} - \frac{1}{2} \right] \quad \text{③}$$

に代入すると約12である。また $\Delta f = 0.222\text{ cps}$
 $\Delta k/2\pi = 0.005\text{ cps}$ となる。

以上のことによつて波数・周波数スペクトルを求めるのと同時に、写真-1の画面中央附近に設置した2台の波高計(W-1とW-2、間隔15.05cm)から周波数に関するスペクトルを求めた。サンプリングは0.04sec間隔で500個とし、最大ラグ数を45としたので、自由度は約20である。

3. 解析結果および考察： 図-1の下段



の部分には得られた波数・周波数スペクトル $E(f, k)$ の等価線が示してある。また上段には波高計 W-2 から求めた周波数スペクトル $E(f)$ の値および波数・周波数スペクトルから求めた同一の波数を持つ波のエネルギーの値を示してある。この図をみると、風波のエネルギーは自由波の f -k 因子を示す曲線を中心にしてかなり広い波数・周波数領域に分布することがわかり興味深い。

$E(f, k)$ の最大値は $f = 2.22 \text{ cps}$, $k/2\pi = 0.03 \text{ cm}^{-1}$ のところにあって、微小振幅波理論による波長よりも長いことを示している。これは非線型性の効果であると考えることができる。 $f=0$, $k/2\pi = 0.005 \text{ cm}^{-1}$ 附近を中心とするかなり強いエネルギー分布は、 $\eta(t, x)$ の読み取りに際して平均水面があたかも直角の両端で $\pm 1 \text{ cm}$ の傾斜を持っているかのような読み取り値になつて

いたことによる原因があると思われる。また、 $f = \pm 2.22$ 付近では全ての波数上にかなりのエネルギーが分布している。これは観測区間 (280 cm) が卓越波長の整数倍になつていて、ことと、その区間が短かいことが原因となって平均値が卓越周期ごとに変動することと関係がある。以上のような解析上の欠点のために、 $\eta(t, x)$ から求めた分散値は、波高計から求めた分散値の約 2 倍に達し、図-1 上段に示した $\sum_k E(f, k) \Delta k$ の面積も $E(f)$ の面積の約 2 倍になっている。 $f = -2.22 \text{ cps}$, $k/2\pi = 0.03 \text{ cm}^{-1}$ にエネルギーのピークがみられるが、これは若干の反射波があることを意味している。上段の図で $f \neq 2.0 \text{ cps}$ 以上の高周波側での $E(f)$ と $\sum_k E(f, k) \Delta k$ の相違は SWOP の報告に述べられているものと同じ傾向で、周波数スペクトルのほうが小さくなっている。しかし、 1.6 cps から 2.0 cps の間では逆に周波数スペクトルのほうが大きくなっている。これらの原因は $f = 2.0 \text{ cps}$ を境にしてエネルギーの波数分布の幅が広がることと関係があるようと思われる。図-1 は W-1 と W-2 から求めた $E(f)$ と $\sum_k E(f, k) \Delta k$ を両対数表示したものである。高周波側はほぼ $f^{-5.5}$ 则に従かっていることがわかる。なお $E(f)$ をみると、ピーク周波数の 2 倍のところに非線型効果によると考えられるエネルギーの二次のピークがみられる。さて、図-1 の等価線の形から次のような式による $E(f, k)$ の表示を試みた。まず自由波の f -k 因子を $2\pi f = \alpha \sqrt{\log \tanh k \Delta k}$ ④ のように修正する。Δk は補正係数で 1.0 より大きく、この場合は 1.07 であった。この自由波の f -k 因子式上でピーク値が出現すること、そして誤差閾値的に低減するものと仮定して次式 $E(f, k) = E(f_p, k_p) \exp -38 \left(\frac{k}{k_p} - 1 \right)^2 \exp -177 \left(\frac{2\pi f}{\alpha \sqrt{\log \tanh k \Delta k}} - 1 \right)^2$ ⑤ を得た。 f_p と k_p は ④ 式を満たす。

最後に、本実験に際して助力をして頂いた井本久仁吉 助手ならびに宮部博士 平野耕一郎、藤井尚之の兩君に感謝の意を表します。

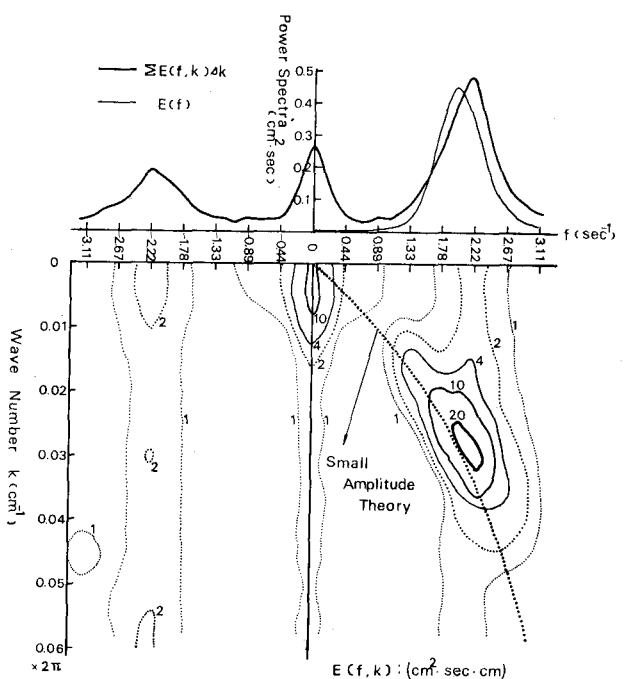


図-1 波数・周波数スペクトル $E(f, k)$ の等価線および $E(f)$

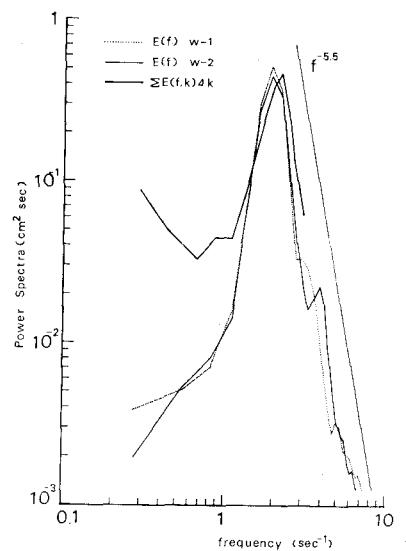


図-2 兩対数表示による周波数スペクトル